

琺瑯質의 酸脱灰에 關한 實驗的 研究

서울大學校 大學院 牙醫學科 保存學 專攻

(指導教授 李鳴鍾)

閔德

— 目 次 —

- I. 緒論
- II. 實驗材料 및 方法
- III. 實驗成績
- IV. 總括 및 考按
- V. 結論
- 參考文獻
- 寫真附圖 및 說明

I. 緒論

最近 많이 사용되고 있는 酸腐蝕 方法은 Buonocore¹⁾ 가 처음으로 琺瑯質 表面에 磷酸으로 处理하고 아크릴릭 래진材料를 使用하여 接着力이 增加되었다는 것을 發表한 後부터 여러 学者들에 依하여 研究되어 왔다.

琺瑯質은 象牙質 表面에서 琺瑯質 表面에 이르는 柱狀 構造物인 小柱와 各 琺瑯質 小柱 사이의 小柱 間質로 되어 있으며, 化學的 構造는 Hydroxyapatite ($\text{Ca}_{10}(\text{PO}_4)_6(\text{OH})_2$)이다.

小柱는 六角柱, 扁形柱 그外 不定多角形을 이루고 있으며, 直径은 $5 \sim 7 \mu$ 이고, 象牙 琺瑯 界界面에서 약간 카진다. 그構造는 體質, 皮質, 小柱鞘로 나누어진다. 小柱를 縱斷面에서 觀察하면, 石灰化가 良好한 곳과 不良한 곳이 反復되는 橫紋을 볼 수 있다.

橫紋은 約 $4 \sim 10$ 個마다 石灰化가 不良한 곳이 생기며, 이것이 Retzius線을 만든다. 小柱는 象牙質 表面에서 垂直으로 琺瑯質 表面까지 直線, 曲線으로 配列되어 있다.

酸腐蝕 方法은 琺瑯質에 窩洞을 形成하지 않고接

着性 增進을 図謀하기 위한 方法으로써, 腐蝕 表面의 類型을 Silverstone²⁾ 等은 3 가지 型으로 区分하였다.

第一型: 가장 흔히 볼 수 있는 型으로 琺瑯稜柱 中心部 物質이 脱灰 除去되나 边緣은 그대로 残存하는 境遇.

第二型: 第一型과 反對로 边緣部位가 먼저 除去되고 中心部는 그대로 残存하는 境遇.

第三型: 特定部位에 選択性으로 나타나지 않고 任意 部位에 脱灰 現像이 나타나는 境遇.

以上 3 가지 型이 腐蝕된 琺瑯質의 同一標本에서 나타나는 境遇, 이것은 酸液의 作用에 依해서 琺瑯質이单一한 모습으로만 形成되어 있지 않기 때문이다. Gwinnett³⁾ 도 Silverstone과 類似한 所見을 記述하고 있는 바, 中心部로 부터 内容物이 大概 빠져 나가는 型이 主로 많이 나타났고, 边緣으로 부터 消失되는 境遇는 보다 적게 나타났고 또 中心部나 边緣의 消失이 같이 나타나는 境遇가 있었다고 報告하였다.

腐蝕된 表面은 接着 強度에相當히 重要하여 레진이 琺瑯質 突起周圍에 接着하여 維持裝置의 役割을 하는 것으로 生覺된다.

修復 레진이 腐蝕된 琺瑯質 表面의 突起内로 浸透되어 重合되는 것이다.

이過程을 觀察하면 琺瑯質과 레진이 化學的 結合이 아니고 機械的 結合임을 알 수 있다.

레진으로 修復된 齒牙 試片을 觀察하면 레진이 琺瑯質 내에多少 不規則하게 浸透되었음을 알 수 있다.

Gwinnett와 Matsui⁴⁾는 酸處理한 齒牙 表面에 接着 레진이 琺瑯質의 突起나 空間 사이로 잘 흘러갈 수 있다는 것을 報告하였고, Buonocore⁵⁾는 色素와 同位原素의 浸透 研究를 觀察한 바 있다.

Houwink⁶⁾, Patrick⁷⁾, Zisman⁸⁾, Kaeble⁹⁾, Weiss¹⁰⁾ 等은 레진과腐蝕齒質의機械的인相互結合은不規則하고粗雜한表面에結合材料가浸透되어이루어진다고報告하였다.

Bowen¹¹⁾은 레진突起가腐蝕結合에成功을左右시키며萬一突起가없으면結合이란用語보다附着이란말이適合하다고report하였다.

따라서,現在使用的修復物·세멘은前述한方式으로齒牙表面에附着되어있는것이다.

各各材料의接着力에影響을주는因子들은濕氣의污染,酸의濃度그리고Nuva의境遇紫外線의強度에따라差異가있다.

濕氣의污染은約70%接着力を減少시키고,酸의濃度에따라서는若干의差異가있으나紫外線의強度에따라큰影響을주었다.

흔히使用되는境遇로는小窩나裂溝의修復이며이것은機械의이고物理的인保護膜을形成함으로써齲蝕을誘發하는菌이나物質의機能을遮斷시키는것이다.

過去에는口腔衛生을清潔히하고弗素塗布, 알맞은飲食을強調하였으나咬合面齲蝕을豫防할수는없었다.

Hyatt¹²⁾는이問題를解決하는데있어서窩洞을形成하고모든溝와裂溝에아밀감充填을하였다.이것이有名한“Prophylactic Odontomy”이고이方法이現在에도많이利用된다.

Bodecker¹³⁾는琺瑯質裂溝에飲食物殘渣가存在할만한날카로운部位를機械적으로넓고둥근通路를만들어液을涂布함으로서齲蝕을根絕시키는method을report하였다.

Hyatt의“Prophylactic Odontomy”나Bodecker의琺瑯質裂溝修正은齲蝕이感染되기쉬운部位를없애기위해健全한齒質을削除해야만한다는短點이있었다.

上水道弗素化가齲蝕發生率減少에貢獻한것은널리認定되며,Ast¹⁴⁾等이發育期兒童을年齡별로實驗한結果50~60%의齲蝕發生率이減少되었음을report하였다.

弗素塗布에서는溝나裂溝의齲蝕을數年程度予防할수있을뿐永久의予防은不可能한것이다.그리므로小窩나溝에對한修復物만이齲蝕減少에決定的efficacy를얻을수있다고思料된다.

裂溝修復이成功하느냐失敗하느냐는患者齒牙의清掃·腐蝕·洗滌·腐蝕된琺瑯質의乾燥·레진

의混合·修復物附着等이모든것하나하나가重要的因子가된다.時間도成敗의한要因으로普遍的인것은腐蝕60秒,洗滌30秒,齒牙表面乾燥及修復劑混合30秒,修復劑附着30秒,重合作用60秒,都合3分30秒程度가좋다고하였다.

使用部位를보면齲蝕齒로移行되는臼齒의깊은溝나裂溝또는작은齲蝕이疑心스러운裂溝그리고全身障礙가있는患者로正常的인口腔衛生을維持할수없을때use하였다.

使用不可能部位로는未來에再發될지도모르는齒間의隣接面에甚한齲蝕이있을때,或은등글고얕은裂溝가存在할때이다.

前齒의辺緣部의破切及齲蝕에使用되는境遇에는紫外線處理이건自動重合이건間に두가지basic의method이있다.첫째로齒牙에아무形成도않고脣側舌側으로複合레진을齲蝕이없는部位까지延長被覆處理하는method이고,둘째로破切된部位의琺瑯質緣에窩緣을形成하여施行하는Jordan¹⁵⁾等의method과類似한것이다.

消失된齒牙間隔의原形回復의境遇,維持裝置를만들어隣接齒牙에酸腐蝕method으로連結하였다.前齒는修復材만으로可能하나臼齒咬合面에充填物이있는境遇充填物을除去하고32gauge철사를插入하여修復하여주면脱落防止에도움이된다라고하였다.先天的形態異常齒牙修復用으로使用되며특히上顎前齒의形態異常例의修復에使用되었다.

外傷性損傷時齒牙固定目的으로使用될수있다.動搖齒牙의固定은紀元前8世紀頃Etrucans가철사를使用하면서부터始作되었으며,이method은現在까지많이使用되고있다.

다른method으로는矯正band와레진을使用하였다.이것은技工操作이必要없으며裝着하는동안齒牙에損傷을減少시키고審美的이며周囲組織을保護하게되는것이다.

Cohen과Chacker¹⁶⁾가齒周疾患治療에서,attachment裝置의大部分損傷時,臨時的으로安定을圖謀하기위하여人工的維持를주어健康한齒牙와骨關係를새롭게維持하도록하였다.그機能을보면첫째,보다良好한咬合關係를얻어動搖하는齒牙가그以上損傷을받지않게保護하기위해서이고둘째로,齒牙周囲組織의破壞를防止하기위하여咬合压을分散시켜주며셋째로,病變의拡散을防止하는長점이있다.

가장理想的인臨時固定裝置는刺戟이 없어야 하며審美的이고發音에異常이 없도록製作하여야 한다.

保隔裝置에도使用되며Swaine과Wright¹⁷⁾는環状으로隣接面에接着시켜이裝置를만들어臨床齒冠이짧을境遇에使用하였다.

乳齒의境遇金冠을裝着할必要없이頰側에約2mm의金属片을酸腐蝕方法으로裝着하여使用하였다.

矯正裝置에도널리使用되며새로이開発된材料들이過去의複雜하던裝置를簡單하게만들어滿足한結果를얻게되었다.

Silverstone¹⁸⁾은30%의磷酸으로齒牙面을腐蝕함으로써band裝置를省略하고bracket만을直接齒牙面에附着하도록하였다. 레진bracket의利點은審美的이고金属으로된bracket보다接着力이強하며清掃하기에便利하다.

Zachrisson¹⁹⁾은普遍的인band를使用하여發生하는隣接面齲蝕은結合力底下来하는바弗素補助劑를使用하여維持力を強하게하는方法을發表하였다.

硬組織에레진을成功的으로結合시키기위해서는齒牙表面을酸液으로腐蝕시키는것이必要的條件이다. 最近 많이利用되고 있는接着剤들은齒牙表面에어떤처置도行하지않고永久의으로附着하게는할수없다는것은대단히注目할만한事實이다.

Nelson,Wolcott와Paffenbarger²⁰⁾는레진充填에서의邊緣浸透로脱落되는修復物의缺點에對하여集中的인研究를하였다.

레진充填物과窩洞壁의接着이잘안되는問題를克服하기위해서보다強力한Epoxy레진이使用되었다.

Phillips와Ryge²¹⁾, Austin, Wilsdorf와 Phillip²²⁾等은齒牙의形態,反応力가장適合한接着体制를調查發表하였다.

이와같은接着充填劑는窩洞壁의邊緣封鎖를完全히維持하며唾液,細菌等이窩洞內로의漏入을予防하여齒髓의損傷을減少시키고第二次齲蝕을予防하며또한齒苔의形成을防止하고齲蝕의罹患部位까지予防하는데利用되었다. 다른学者들은口腔外科에서臨床의으로軟組織을縫合없이接合하는데利用하였다. 即齒牙移植時組織接着의增進이周囲의齒齦縫合에相當히重要한

關係가있다고하였다.

過去數年동안接着剤理論의熟考할만한進歩에도不拘하고臨床分野에있어서適合한接着剤는아직發見되지않았다.

Buonocore¹¹⁾는邊緣의接着力を增進시키기위해85%磷酸을使用하여齒牙琺瑯質表面을腐蝕한結果接着이잘될수있는琺瑯質表面을얻었으며,溝와裂溝에레진을適用하고난後維持力이增加함을確認하였다.

그는向上된接着力を腐蝕된齒牙表面때문이라고하였다.

Schwarz와Galligan²³⁾은接着力있는修復物이連結子의媒介体를通하여削除된齒牙表面에달라붙는다리役割이나連結因子로써作用하는여러材料를調查하였다.

Buonocore²⁴⁾, McCune²⁵⁾等, Rock²⁶⁾, Schroderand Holst²⁷⁾는溝나裂溝의齲蝕予防을위하여臨床實驗을한結果附着剤의層은어느程度保存되었고咬合面의感染率이減少되었다고報告하였다.

L.D.Caulk Co.에서紫外線으로레진의重合을促進시켜주는Nuva System을紹介하였고, Nuva Seal로써修復六個月또는一年間觀察한結果, Rock²⁶⁾에依해서처음試圖된境遇에서는約半以上例에서損失되었다고report하였으며, Schroderand Holst²⁸⁾가두번쩨의臨床試圖에서六個月後検査한結果修復物消率이30%—4%로減少되었음을觀察하였고其後Rock²⁹⁾의紫外線源인Nuva-Lite의새로운型을使用한result一年後14%로減少되었다고report하였다. 이result로臨床의인面에서酸腐蝕方法의修復物維持에大端히重要하다는것이確認되었다.

Gwinnet와Buonocore³⁰⁾는磷酸液으로實驗한結果酸濃度가크면琺瑯質表面이보다적게腐蝕된다는事實을發見하였다.

最近Silverstone³¹⁾은Orthophosphoric酸을使用하였을때酸強度와琺瑯質表面變化에可逆의相互關係를確認하였고가장important한것은弱酸에서組織學의깊이의變化가가장크다는것을發見하였다.

30%磷酸으로齒牙表面인琺瑯質을酸腐蝕하였을때etched zone이 10μ , qualitative porous zone은 20μ , quantitative porous zone은 20μ 모두 50μ 의깊이가腐蝕되었음을觀察하였으며,理想的인酸은齒牙表面形態에가장적은變化를주

고 組織學的으로 볼 때 가장 깊이가 깊어야 良好하다는 結論을 내렸다.

本実験은 臨床에서 主로 使用하는 磷酸 外에 塩酸, 黃酸, 窒酸, 修酸, 蟻酸, 枸橼酸 및 磷酸亜鉛 세멘液이 齒牙琺瑯質의 積柱中心部, 積柱边缘部位中 어느곳을 腐蝕시키고, 어떤 酸이 良好한 腐蝕效果를 나타내는지 走査電子顯微鏡을 利用하여 觀察한 바 이에 報告하는 바이다.

II. 実験 材料 및 実験 方法

1. 実験 材料

本 実験에서는 觀察이 容易하고 簡單한 実験 試片을 얻기 為하여 最近 齒周疾患이나 補綴目的으로 拔去한 18~25歳 患者の 上顎 前齒 91個를 実験 対象으로 하였고, 齒牙 表面 腐蝕剤로는 磷酸, 黃酸, 窒酸, 塩酸, 修酸, 蟻酸, 枸橼酸等을 각각 10%·30%·50%로 稀釀한 것과 磷酸亜鉛 세멘液 (Lee Smith Co.)을 使用하였다.

2. 実験 方法

抜去한 上顎 前齒의 表面에 附着되어 있는 軟組織과 齒石 飲食物 残渣를 除去하고 洗滌한 後 生理的 食塩水에 保管하였다.

実験時 齒冠 脣面을 流水에 洗滌하고 pumice (浮石)로 研磨 後 물로 再洗滌하고 齒牙 切端 1/3 部位에 넓이 $2\text{ mm} \times 2\text{ mm}$, 두께 約 2mm되게 high-speed-bur (water spray 下에서)로 切断하여 試片으로 하고 7種 試薬(酸)을 濃度別로 10個 試片과 磷酸亜鉛液에 對한 試片 10個를 洗滌後 濕氣나 기름에 汚染되지 않은 圧縮 空氣로 乾燥하였다.

모든 試片은 酸이 浸入되는 것을 防止시키기 為하여 試片 後面을 wax로 包埋(coating)하였다.

各 酸當 10個씩 製作한 試片들을 練板 上에 놓고 上記 酸溶液 一滴(約 0.3ml)을 滴下하여 2分間 各各 腐蝕시킨 後 流水로 洗滌하고 圧縮 空氣로 乾燥시켰다.

完成된 試片을 走査電子顯微鏡에서 觀察하기 為하여 conductive silver paint로 specimen mount에 附着 시키고 JFC-1,100 vacuum apparatus에서 金으로 被覆하고 走査電子顯微鏡(SEM. JSM / 35 resolution 70A°) 下에서 腐蝕表面을 1000倍와 3000倍로 拡大하여 觀察하였다.

III. 実験 成績

本 実験의 試薬別로 본 結果는 다음과 같다.

1) 磷酸

磷酸 10% 溶液의 例：

琺瑯積柱 边緣은 残存하여 多角形의 말굽 模樣을 나타내고 積柱 中心部가 一部는 消失되어 複雜 模樣을, 一部는 不規則한 円錐形突出을 9個 試片에서 나타냈으며 1個 試片에서는 形態 不明이었다. (Fig.1)

磷酸 30% 溶液의 例：

積柱 边緣은 消失되고 積柱 中心部는 不規則한 円錐形突起를 10個 試片에서 모두 觀察할 수 있었다. (Fig.2)

磷酸 50% 溶液의 例：

積柱 中心部와 边緣은 残存하고 中心部와 边緣間に 一部分의 으로 消失되었음이 9個 試片에서 觀察되었고 1個 試片에서는 不分明하게 나타났다.

(Fig.3)

2) 黃酸

黃酸 10% 溶液의 例：

10個 試片에서는 풀·꽃 模樣의 크고 작은 結晶体로 덮여 있었다. (Fig.4)

黃酸 30% 溶液의 例：

全 琥珀質 表面에 均一하게 腐蝕되어 大·小 陥没을 나타냈고, 9個 試片에서 琥珀積柱는 区別하기 困難하게 觀察되었으며 1個의 試片에서는 模樣이 不分明하게 나타났다. (Fig.5)

黃酸 50% 溶液의 例：

9個 試片에서는 边緣은 残存되었고 積柱 中心部만 消失된 模樣이었고 1個 試片에서는 不分明한 像을 나타냈다. (Fig.6)

3) 窒酸

窒酸 10% 溶液의 例：

腐蝕表面에서는 積柱 中心部와 積柱 边緣間に 消失되고 边緣의 多角形 말굽 模樣突起와 中心部의 不規則한 円錐形이 10個 試片 모두에서 觀察되었다.

(Fig.7)

窒酸 30% 溶液의 例：

邊緣은 残存하고 中心部가 窒酸 10% 溶液보다

더溶解된 狀態가 9個 試片에서 나타났고 1個 試片은 不分明하게 觀察되었다. (Fig.8)

窒酸 50% 溶液의 例：

邊緣은 完全 消失되고 中心部에 不規則한 円錐形 突起만 10個 試片에서 觀察되었다. (Fig.9)

4) 塩 酸

塩酸 10% 溶液의 例：

9個 試片에서는 穎柱 中心部는 不規則한 突出을 나타내고 穎柱 边緣은 部分的으로 消失되었으며, 1個 試片에서만 不分明하게 나타났다. (Fig.10)

塩酸 30% 溶液의 例：

空洞이 나타나고 穎柱 边緣은 完全 消失된 것이 모든 試片에서 觀察되었다. (Fig.11)

塩酸 50% 溶液의 例：

空洞이 中心部를 不規則한 円錐形 突出을 나타내고 边緣은 完全 消失된 것이 모든 試片에서 觀察되었다. (Fig.12)

5) 修酸

修酸 10% 溶液의 例：

9個 試片에서는 穎柱 边緣에 多角形의 穎模樣

인 突出이 나타났고, 穎柱 中心部는 腐蝕된 大·小 空洞이 觀察되었으며 1個 試片에서는 不分明하게 나타났다. (Fig.13)

修酸 30% 溶液의 例：

空洞이 穎柱 边緣에 穎模樣의 大·小 陷沒이 나타났고 穎柱 中心部는 10% 溶液에 比하여 陷沒들이 消失되었음이 10個 試片에서 观察되었다. (Fig.14)

修酸 50% 溶液의 例：

10個의 모든 試片에서 边緣은 残存하고 穎柱 中心部가 消失되어 가는 陷沒의 出現이 观察되었다. (Fig.15)

6) 蟻酸

蟻酸 10% 溶液의 例：

9個 試片에서 中心部位가 若干 溶解되었고, 1個 試片에서 不分明한 像이 观察되었다. (Fig.16)

蟻酸 30% 溶液의 例：

10% 溶液과 同一하게 8個 試片에서 琥珀空洞 中心部가 若干溶解되었고, 2個 試片에서는 不分明하게 나타났다. (Fig.17)

Table I. Surface morphology of acid etching tooth surface

Acid % Type	Phosphoric acid			Sulfuric acid			Nitric acid			Hydro-chloric acid			Oxalic acid			Formic acid			Citric acid			Z.P.C liquid	
	10	30	50	10	30	50	10	30	50	10	30	50	10	30	50	10	30	50	10	30	50		
Preferential removal of prism core	9		9			9	10	9				9		10	9	8	9			9	10	10	
Preferential removal of prism periphery		10							10	9	10			10									
No resemble to the enamel morphology					9							9											
Uncertain	1		1	10	1	1		1		1	1					1	2	1	10	1			

磷酸 50% 溶液의 例 :

9 個 試片에서 琥珀稜柱가 消失되어 不規則한 円錐形 像을 나타냈고 1 個試片은 不分明하게 나타났다. (Fig. 18)

7) 枸櫞酸

枸櫞酸 10% 溶液의 例 :

10個 試片에서는 稜柱邊緣과 中心部가 区別이 不可能하였다. (Fig. 19)

枸櫞酸 30% 溶液의 例 :

9 個 試片에서는 边緣은 残存하고 中心部가 消失되었고, 1 個 試片에서는 不分明하게 觀察되었다. (Fig. 20)

枸櫞酸 50% 溶液의 例 :

10個 試片 모두 稜柱 中心部는 消失되었고 边緣은 植物葉像으로 残存하였다. (Fig. 21)

8) 磷酸亜鉛液 :

磷酸亜鉛液의 境遇 稜柱 边緣은 残存하고 稜柱 中心部가 若干消失된 像을 나타냈다. (Fig. 22)

IV. 総括 및 考按

本実驗에서 酸의 種類, 濃度에 따라 腐蝕된 琥珀質 表面에 差異가 나타났다. 이는 Myers³²⁾ 等과 Silverstone³³⁾ 之 琥珀質 表面의 脱灰效果는 酸液의 濃度, 酸液에 露出된 時間과 関係가 있다고 報告한 것과一致하였다.

磷酸 10% 溶液에서 Silverstone 等은 腐蝕 表面에 小泡들이 多数 出現하였다고 報告한 反面 本実驗에서는 腐蝕이 進行하여 琥珀質 稜柱 中心 部位가 消失되었고, Silverstone의 30% 磷酸 溶液에서 出現하는 琥珀稜柱 中心部位가 消失된 複雜 模樣(honey-comb)의 形態이였지만 本実驗에서는 琥珀稜柱 边緣이 消失된 狀態이었다. Silverstone의 60% 磷酸 形態는 本実驗의 50% 磷酸 腐蝕像과 類似하였다.

反面, Silverstone의 30% 磷酸으로 二分間 腐蝕 시킨 結果와 本実驗의 結果는一致하였다.

위 結果 本実驗에서는 酸에 露出時間은 2分으로 하였으므로 一分間 腐蝕한 것보다 琥珀質 深層까지 浸透되었다고 思料된다.

Poole과 Johnson³⁴⁾ 은 酸溶液의 優先的으로 稜柱 中心部를 溶解시켰다고 報告하였고 Silverstone 等은 稜柱 中心部가 溶解된 것을 基本形으로 報告하였다. 이는 褊은 学者들이 低濃度에서 高濃度까지

의 磷酸溶液만을 主로 使用하여 琥珀質表面을 腐蝕하였기 때문이라 思料된다.

本実驗에서는 磷酸 10%, 50%, 黃酸 50%, 硝酸 10%, 30%, 蔗酸 10%, 50%, 糠酸 10%, 30%, 50%, 枸櫞酸 30%, 50% 溶液과 磷酸亜鉛液에서 琥珀質 中心 部位가 溶解되고 边緣은 残存한 像을 나타내었고 磷酸 30%, 硝酸 50%, 塩酸 10%, 30%, 蔗酸 30% 溶液에서는 稜柱 中心部는 残存하고 稜柱 边緣이 消失된 像이 觀察되었다.

黃酸 30%, 塩酸 50% 溶液에서는 任意部位에 腐蝕이 나타났고, 黃酸 10%, 枸櫞酸 10% 溶液에서는 外形 区別이 不可能하였다.

酸溶液의 齒牙 表面을 腐蝕시키는데에는 두 가지 形態가 있다.

첫째, 琥珀質의 外層이 腐蝕으로 除去된다. 即, 琥珀質 表面에 있는 結晶体를 化學의으로 除去시켜 残存硬組織과 레진間結合을 增進시키는 것이다. 酸으로 处理하지 않은 齒牙의 表面이 接着剤가 附着하지 않는 큰 原因은 琥珀質 表面에 有機表皮(cuticle)가 있기 때문이다.

둘째, 腐蝕酸에 依하여 有機表皮이 除去되고 齒牙面이 腐蝕되어 残在 琥珀質 表面의 酸溶液에 依하여 突起를 形成하게 된다.

이 突起를 通하여 레진이 浸透되고 琥珀質과 結合될 수 있게 하여 준다.

本実驗에서 琥珀稜柱의 各部分들은 각각의 酸에 依해서 相異하게 溶解되어 数많은 작은 突起를 生成하였다.

Gwinnett³⁵⁾ 는 数種酸의 琥珀質 腐蝕效果를 比較 觀察한 바 塩酸이 가장 큰 效果를 나타내었고, 磷酸, 枸櫞酸의 順이었다고 報告하였다.

本実驗에서는 10% 磷酸 溶液이 가장 큰 效果를 나타내었고, 黃酸 50%, 硝酸 10%, 30% 溶液, 蔗酸 10% 溶液順으로 觀察되었다.

本実驗의 30% 塩酸溶液腐蝕表面의 Silverstone 30% 磷酸 处理 表面과 類似하였고 本実驗에서 50% 塩酸 处理例는 琥珀稜柱 中心部와 琥珀稜柱 边緣이 均一하게 腐蝕된 反面 Mortimer³⁶⁾ 는 2N HCl로 1分間 腐蝕한 結果 稜柱 中心部는 溶解되고 边緣은 残存하였다고 報告하였다.

Dennison³⁷⁾ 이 50% 枸櫞酸으로 1分間 腐蝕한 琥珀質 表面과 本実驗에서 30% 枸櫞酸으로 处理한 表面과 類似하였다. 이는 時間의 差異때문이라고 思

料된다.

本実験에서 10% 黃酸으로 腐蝕한 試片을 觀察하면 花 模樣이 나타났다.

Smith와 Cartz³⁸⁾는 이 模樣을 石膏와 類似한 残餘黃酸塩이온이 雜多하게 增殖되어 形成된 것이라 하였고, 이 이온은 接着力을若干 增進시켜주며, 石灰化 組織의 表面에 對하여 結合機軸을 可能하게 한다고 報告하였다.

30% 黃酸溶液에서 花 模樣이 消失되고 小陷沒들이 全琺瑯質表面에 均一하게 나타났다. 이는 濃度가 增大되어 齒牙表面 第一外層에 附着되어 있는 黃酸塩 이온이 溶解되고 琻瑯質 表面이 酸溶液에 腐蝕된 것으로 思料된다.

Sheykhoslam과 Buonocore³⁹⁾는 乳齒 琻瑯質은 無稜柱層으로 形成되어 있어서 레진 突起가 浸透하는 것을 妨害한다고 報告하였고, Hindring과 Sveen⁴⁰⁾은 磷酸으로 咬合面을 腐蝕한 結果 乳齒보다 永久齒의 琻瑯質 表面 溶解가 多量으로 이루어졌음을 觀察하였다.

永久齒는 一分間, 乳齒는 二分間 腐蝕시켜 表面을 觀察한 結果 乳齒와 永久齒는 類似한 腐蝕 狀態가 나타났다고 報告하였다.

乳齒는 無機物 含量이 永久齒보다 낮다. Angmar, Carlstrom, Glas⁴¹⁾ 等은 永久齒에서 最高 92%의 無機物을 檢出한 反面, Mortimer⁴²⁾는 乳齒에서 最低 80.6%의 無機物을 發見하였다. 乳齒는 永久齒보다 有機物을 더 内包하고 있기 때문에 永久齒와 같은 形態로 腐蝕시키려면 時間을 延長하여야 한다고 思料된다.

本実験에서 年齡을 18~25歲로 制限한 것은 年齡에 따라, 腐蝕形態가 달라지는 것을 防止하기 为해서였다.

Silverstone⁴³⁾은 30% 磷酸溶液으로 1分間 腐蝕한 後 修復物을 齒牙表面에 接着한 結果 良好한 維持力を 얻었음을 觀察하였고, Rock⁴⁴⁾도 30% 磷酸의 腐蝕效果가 50% 磷酸으로 处理한 것보다 抗張結合 強度가 增加한다고 報告하였다.

本実験에서도 大部分 酸들이 30%에서 腐蝕效果가 比較的 增大되었음이 观察되었다.

臨床家들은 酸으로 腐蝕시킨 後 齒牙表面에 惡影響이 생기지 않을까에 関하여 疑心를 가져왔다.

Arand⁴⁵⁾는 臨床實驗에서 腐蝕된 齒牙表面의 再石灰化 (Remineralization)는 約 96時間에서부터 383時間 内에 이루어진다는 것을 報告하고 있다.

Silverstone⁴⁶⁾ 도 24時間 以内에 酸으로 腐蝕된 곳에 有機 및 無機物이沈着되어 正常으로 恢復되었다고 하였고, Tison⁴⁷⁾은 齒牙 表面의 損傷 基底部位에 酸腐蝕을 實驗한 結果 再石灰化가相當히 빠르게 된다는 것을 觀察하였고, Buonocore¹⁾는 85% 磷酸을 使用한 結果 数日 後에若干의 光沢이 消失된 것 外에는 正常의 琻瑯質 表面으로 恢復된 것을 報告하였다.

Sognnaes⁴⁸⁾는 원숭이에 构橼酸으로 腐蝕한 後에 再石灰化가 起起된 것을 觀察하였고, Muhlemann⁴⁹⁾等은 腐蝕된 琻瑯質의 特徵의 琻瑯質 稜柱의 모습이 2日~48일 内에 恢復된 것을 報告하였고, Lee⁵⁰⁾等은 50% 构橼酸으로 生体 實驗한 結果 72時間內에 再石灰化가 完全히 形成된 것을 观察하였고, Retief⁵¹⁾等은 50% 磷酸溶液으로 齒牙 琻瑯質에 酸處理한 後 七日內에 再石灰化가 起起된 것을 報告하였다.

Albert와 Grenoble⁵²⁾은 50% 磷酸으로 乳齒에 对하여 酸腐蝕한 結果 칼슘과 磷은 1時間內에 沈着되고 再石灰化는 96時間內에 完了되었음을 观察하였고, 脱灰가 된 齒牙 表面은 48시간 以内에 再生이 이루어지고 弗素 塗布가 된 境遇에는 酸処置時 琻瑯質 溶解가 妨害되고 再生이 容易해 진다고 Hoffman⁵³⁾은 報告하였다.

Handelman⁵⁴⁾은 龈蝕 部位에 不注意로 腐蝕剤를 接触시킨 경우 2年後에 菌数가 減小되는 結果를 얻었음을 報告하였다.

以上의 結果로 著者는 腐蝕된 表面의 再石灰化는 憂慮가 없다고 思料된다.

여러 種類의 酸이 齒牙 表面 腐蝕에 利用 可能하지만 臨床的으로 볼 때 腐蝕剤의 機能이 短時間內에 形成되어야 하고 使用時間이 걸어지더라도 多量의 齒質破壞가 없어야 한다.

50% 塩酸溶液으로 腐蝕한 結果 Wetherell⁵⁵⁾은 琻瑯·象牙境界面까지 均一하게 溶解되었으나 本實驗에서는 Silverstone의 第3型에 屬하였다.

Tranter⁵⁶⁾는 N/100 塩酸溶液으로 1時間 동안 腐蝕한 結果 臨床的으로 理想의 花 模樣의 出現을 報告하였다.

이는 本實驗보다 濃度가 弱하여 長時間腐蝕 하여도 齒質損傷이 없는 것으로 思料된다.

38% 磷酸이 含有된 磷酸亞鉛液에서 觀察한 結果 稜柱中心部가 溶解되고 稜柱辺緣이 残存한 像을 얻었다. 이는 本實驗에서 使用한 磷酸亞鉛液과 濃度

의 差異라고 思料된다.

Gwinnett³⁵⁾는 0.1 N 塩酸溶液으로 2 分間 腐蝕한結果 Silverstone의 第一·二型이 同一試片에서 나타났다. 이는 腐蝕部位를 選擇하는데 따라 差異가 있다고 思料된다. 濃度가 높은 磷酸이 30~40%의 磷酸보다 腐蝕效果가 減少하는 것을 酸의 이온화로 Silverstone은 說明하고 있다.

弱酸은 이온화가 크며 組織에 均等히 扩散된다고 報告하였다.

本實驗에서 蔗酸은 腐蝕效果가 良好한데 반하여 蟻酸은 不良하였다.

이 結果 이온화外에 다른 因子가 있다고 思料된다.

本實驗에서 磷酸 10% 溶液에서는 第一型, 30% 溶液에서는 第二型, 50% 溶液에서 第一型으로 나타났고 黃酸 30% 溶液에서는 第三型, 50% 溶液에서 第一型으로 腐蝕되었다. 窒酸 10%·30% 溶液에서는 第一型, 50% 溶液에서 第二型으로 腐蝕되었고, 塩酸 10%·30% 溶液에서는 第二型, 50% 溶液에서 第三型으로 나타났으며, 蔗酸 10% 溶液에서는 第一型, 30% 溶液에서는 第二型, 50% 溶液에서 第一型으로 腐蝕되었고, 蟻酸의 境遇는 10% 溶液에서 第一型, 30% 溶液에서 第一型, 50% 溶液에서 第一型으로 变化가 없음이 觀察되었다. 构橼酸의 境遇, 30%·50% 溶液에서 第一型으로 腐蝕되었고 磷酸亞鉛液은 第一型으로 나타났다.

以上的 結果를 觀察하면 磷酸, 蔗酸은 10%, 30%, 50% 溶液에서 각각 第一型, 第二型, 第三型으로 变化되었으며, 蟻酸에서만 濃度에 따라若干의 腐蝕差異가 있으나 琥珀稜柱 中心部가 溶解되는 形態에는 变化가 없었다.

以上과 같은 变化는 Jørgensen³⁶⁾ 이 서로 다른 사람의 永久齒를 각각 35% 磷酸으로 1 分間 腐蝕한結果, 各人에 따라 第一型, 第二型, 第三型, 이各各 나타났고, 또 같은 齒牙라도 部位에 따라 第一型, 第二型이 나타났음을 報告한 것과 類似하였다.

著者は 臨床에서 琥珀質 表面을 腐蝕시킬 때, 年齡差, 齒牙 및 部位에 따라 더 많은 實驗이 必要하다고 思料된다.

V. 結論

著者は 最近 抜去한 91個 上頸前齒 脣側表面을 10%·30%·50%의 磷酸, 黃酸, 窒酸, 塩酸, 蔗酸, 蟻酸, 构橼酸溶液과 磷酸亞鉛 세멘液으로 腐蝕시켜 酸의 浸透部位 및 様相을 走査電子顯微鏡으로 觀察

한 結果 다음과 같은 結論을 얻었다.

1. 部位

(1) 琥珀稜柱는 消失되고 边緣이 残存하는 酸은 10%·50% 磷酸, 50% 黃酸, 10%·30% 窒酸, 10%·50% 蔗酸, 10%·30%·50% 蟻酸, 30%·50% 构橼酸, 磷酸亞鉛液이었다.

(2) 琥珀稜柱는 残存하고 边緣이 消失되는 酸은 30% 磷酸, 50% 窒酸, 10%·30% 塩酸, 30% 蔗酸이었다.

2. 様相

Silverstone의 分類型으로 볼 때 其作用 效果는 磷酸亞鉛液 30%·50% 构橼酸, 10%·30%·50% 蟻酸, 10%·50% 蔗酸, 10%·30% 窒酸, 50% 黃酸, 10%·50% 磷酸에서 第一型의 様相이었고, 30% 蔗酸, 10%·30% 塩酸, 50% 窒酸, 30% 磷酸에서는 第二型의 様相이었다.

(本論文을 完成함에 始終 指導校閱하여 주신 金英海 教授님과 李鳴鍾 教授님께 感謝를 드리며 協助하여 주신 保存學教室員 및 서울大 工大 金屬工學科 教室員 여러분께 謝意를 表하는 바입니다.)

REFERENCES

1. Buonocore, M.G.: Simple method of increasing the adhesion of acrylic filling materials to enamel surfaces. J. D. Res. 34:849-853. 1955.
2. Silverstone, L.M., Saxton, C.A., Dogon, I.L. and Fejerskov, O.: Variation in the pattern of acid etching of human dental enamel examined by scanning electron microscopy. Caries Res. 9:373-387. 1975.
3. Gwinnett, A.J.: Histologic changes in human enamel following treatment with acidic adhesive conditioning agents. Arch. Oral Biol. 16:731-738. 1971.
4. Gwinnett, A.J. and Matsui, A.: A study of enamel adhesives. The physical relationship between enamel and adhesive. Arch. Oral Biol. 12:1615-1620. 1968.
5. Buonocore, M.G.: Personal communication. 1970.
6. Houwink, R. and Salomon, G.: Adhesion and Adhesives, Vols 1 and 2, Elsevier, Amsterdam. 1965.

7. Patrick, R.L. (Editor).: Treatise on Adhesion and Adhesives. Marcel Dekker, New York. 1967.
8. Zisman, W.A.: In Adhesive Restorative Dentals. (Phillips, R.W. and Ryge, G.). PB 173009 Clearing house for Federal Scientific and Technical Information. Springfield, Virginia. 106. 1961.
9. Kaelble, D.H.: Physical Chemistry of Adhesion, John Wiley, New York. 1971.
10. Weiss, P.: The polymer concept in adhesives. Journal of Polymer Science Part C. 12:169-183. 1966.
11. Bowen, R.L.: Adhesive bonding of various materials to hard tooth tissues. III. Bonding to dentin improved by pretreatment and the use of surface active comonomer. J.D. Res. 44, 903-905. 1965.
12. Hyatt, T.P: Prophylactic odontomy, Dent. cosmos.
13. Bodecker, C.F.: Dental caries immunization without filling, NYSDJ. 30:October 6,337.
14. Ast, D.B., Smith, D.J., Wachs, B. and Cantwell, K.T.: Newburgh-Kingston Caries-Fluorine Study XIV. Combined clinical and roentgenographic dental findings after ten years of fluoride experience. J.A.D.A. 52:314-324. 1956.
15. Jordan, R.E., Suzuki, M., Gwinnett, A.J. and Hunter, J.K.: Restoration of fractured and hypoplastic incisors by the acid etch resin technique a three-year report. J.A. D.A. 95:795-803. 1977
16. Cohen, D.W. and Chacker, F.: Criteria for the selection of one treatment plan over another. Dental Clinics of North America, March. 3. 1964.
17. Swaine, T.J. and Wright, G.Z.: Direct bonding applied to space maintenance. J. Dent. Child. 6:401-405. 1976.
18. Silverstone, L.M.: Fissure sealants laboratory studies. Caries Res. 8:2-26. 1974.
19. Zachrisson, B.U.: Fluoride application procedures in orthodontic practice current concepts. Angle Orthodontist 45:72-81. 1957.
20. Nelson, R.J., Wolcott, R.B. and Paffenbarger, G.C.: Fluid exchange at the margins of dental restorations. J.A.D.A. 44:288. 1952.
21. Phillips, R.W. and Ryge, G. (Editors).: Adhesive Restorative Dental Materials. PB 173009. Clearng house for Federal Scientific and Technical Information, Springfield, Virginia. 1961.
22. Austin, Wilsdorf and Phllips R.: Ed. Adhesive Restorative Dental Materials II. Public Health Service Publ. L. 1494. Washington, D.C. 1966.
23. Schwartz2, A.M. and Galligan, J.D.: Tooth conditioning agents for promoting adhesion in restorative materials in adhesive Restorative Dental Materials II. NIDR Workshop. U.S. Public Health Service Publication 1494, 1965.
24. Buonocore, M.G.: Caries prevention in pits and fissures sealed with an adhesive resin polymerized by ultra-violet light: A two year study of a single adhesive application. J.A.D.A. 82:1090-1093. 1971.
25. McCune, R.J., Norowitz, H.S., Hiefetz, S.B. & Cvar, J.: Pit and Fissure sealants: One year results from a study in Kalispell, Mintans. 1973.
26. Rock, W.P.: Fissure sealants: Further results of clinical trials. British Dental Journal 136:317-321. 1974.
27. Schroder, P. and Holst, J.J.: Nuva-seal metodens effektivitet efter seks maneders observationstid. Tandlaegebladet, 76:230-233. 1972.
28. Schroder, P., Holst, J.J.: Nuvaseal-metodens effektivitet efter 6 go 12 maneders observati-onstid. Tandlaegebladet, 76:1169-1175. 1972.

- (Proc. Int. Symp. Acid Etch Tech. North Central Publishing Co., St. Paul, Minn. U.S.A. 50. 1975.
29. Rock, W.P.: Fissure sealants: Results obtained with two different sealants after one year. *British Dental Journal*, 133:146-151. 1972.
30. Gwinnett, A.J. and Buonocore, M.G.: A scanning electron microscope study of pit and fissure surface conditioned for adhesive sealing. *Arch. Oral Biol.* 17:415-423. 1972.
31. Silverstone, L.M.: Proc. Int. Symp. Acid Etch Tech. North Central Publishings Co., St. Paul, Minn. U.S.A. 32.
32. Myers, C.L., Rossi, F. and Cartz, L.: Adhesive taglike extensions into acid-etched tooth enamel. *J. D. Res.* 53:435. 1974.
33. Silverstone, L.M.: Fissure sealants. Laboratory studies. *Caries Res.* 81:2. 1974.
34. Poole, D.F.G. and Johnson, N.W.: The effects of different demineralizing agents on human enamel surfaces studied by scanning electron microscopy. *Arch. Oral Biol.* 12:1621-1634. 1967.
35. Gwinnett, A.J.: Histologic changes in human enamel following treatment with acid adhesive conditioning agents. *Arch. Oral Biol.* 16:731-738. 1971.
36. Mortimer, K.W.: The pattern of demineralization of the enamel by dental caries. *Caries Res.* 2:180-192. 1968.
37. Dennison, J.B. and Craig, R.G.: Characterization of enamel surfaces prepared with commerical etchants. *Ladr Abstract.* No. 392. Atlanta. Georgia. 1974.
38. Smith, D.C. and Cartz, L.: Crystalline interface formed by polyacrylic acid and tooth enamel. *J. D. Res.* 52:1155. 1973.
39. Sheykholeslam, Z. and Buonocore, M.G.: Bonding of phosphoric acid etched enamel surfaces of permanent and deciduous teeth. *J.D. Res.* 51:1572-1576. 1972.
40. Hindig, J.H. and Sveen, O.B.: A scanning electron microscopy study of the effects of acid conditioning on occlusal enamel of human permanent and deciduous teeth *Arch. Oral Biol.* 19:573-576. 1974.
41. Angmar, B., Carlstrom, D. and Glas, J.E.: Studies of the ultrastructure of dental IV. The mineralization of normal human enamel. *J. Ultrastructural Res.* 8:12-23. 1963.
42. Mortimer, K.V.: The relationship of deciduous enamel surface to dental disease. *Caries Res.* 4:206-223, 1970.
43. Silverstone, L.M.: Fissure Sealants-Laboratory Studies *Caries Res.* 8:2-26. 1974.
44. Rock, W.P.: The effect of etching of human enamel upon bond strengths with fissure sealant resins. *Arch. Oral Biol.* 19:873-877. 1974.
45. Arand, E.M.: Clinical observations of enamel after acid-etch procedures. *J.A.D.A.* 89: 1102-1108. 1974.
46. Silverstone, L.M. and Poole, D.F.G.: Histologic and ultrastructural features of remineralized carious enamel. *J. D. Res.* 48:756-770. 1969.
47. Tison, W.M.: Use of sealant harmful? *A.D.A. News.* 2. 1970.
48. Sognnaes, R.F.: Dental hard tissue destruction with special reference to idiopathic erosions. publ no. 75. American Association for the Advancement of Science. 91. 1963.
49. Muhlemann, H.R.: Experimental modifications of the enamel surface. *Helv. Odontol Acta.* 4:5-24. 1960.
50. Lee, H. and others: Application of scanning electron microscopy to in vivo remineralization studies of human enamel. *Lee Pharmaceuticals Res Rep no.* 70-147. 1970.
51. Retief, D.H., Dreyer, C.J. and Gavron, G.: The direct bonding of orthodontic attachments to teeth by means of an epoxy resin adhesive. *Am. J. Orthod* 58:21. 1970.

52. Albert, M. and Grenoble, D.E.: An in vivo study of enamel remineralization after acid etching. J.S. Calif. Dent. Assoc. 39:747. 1971.
53. Hoffman Seymour, McEwan W.W. and Drew C.D.: Scanning electron microscope studies of dental enamel J.D. Res. 48:242. 1969.
54. Handelman, S.L., Washburn, F. and Wopperer. Two-year report of sealant effect on bacteria in dental caries. J.A.D.A. 93: 967-970. 1976.
55. Weatherell, J.A. and Hargreaves, J.A.: The micro sampling of enamel in thin layers by means of strong acids. Arch. Oral Biol. 10:130-142. 1975.
56. T.C. Tranter.: Proc. Int. Symp. Acid Etch Tech. North Central Publishing Co., St. paul, Minn, U.S.A. 151. 1975.
57. Jørgensen, K.D.: Contralateral symmetry of acid etched enamel surfaces. Scand. J. D. Res. 83:26. 1975.

A STUDY ON THE MICROSCOPIC CHANGE OF THE ENAMEL SURFACE AFTER ACID ETCHING

Byoung Duck Min, D.D.S., M.S.D.

*Department of Operative Dentistry, Graduate School
(Directed by Prof. Myung Jong Lee, D.D.S., Ph. D.)*

➤ Abstract ➤

Scanning Electron Microscopic (SEM) examination on the labial surface of 91 permanent upper incisors were made after etching procedure with phosphoric acid, sulfuric acid, nitric acid, hydrochloric acid, oxalic acid, formic acid, citric acid and zinc phosphate liquid for 2 minutes. Following results were obtained.

1. In the surfaces etched by 10%. 50% phosphoric acid, 50% sulfuric acid, 10%. 30% nitric acid, 10%. 50% oxalic acid, 10%. 30%. 50% formic acid, 30%. 50% citric acid and zinc phosphate liquid, there appeared to be a preferential removal of prism cores, but in the surfaces etched by 10% phosphoric acid, 50% nitric acid, 10%. 30% hydrochloric acid and 30% oxalic acid, the prism peripheries were removed preferentially.
 2. According to Silverstone classification on enamel etching pattern the surface treated by zinc phosphate liquid, 30. 50% citric acid, 10%. 30%. 50% formic acid, 10%. 50% oxalic acid, 10%. 30% nitric acid, 50% sulfuric acid and 10%. 50%. phosphoric acid showed Type I, and etched by 30% oxalic acid, 10%. 30% hydrochloric acid, 50% nitric acid and 10% phosphoric acid showed Type II.

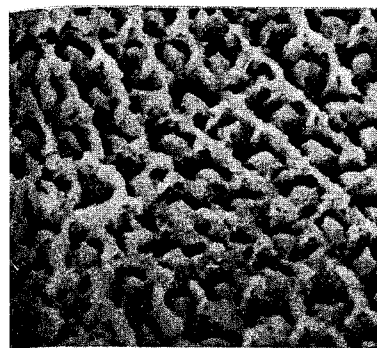
Etching of prism cores was by far the most common occurrence. The changes produced could be related to intrinsic differences in histology and / or solubility of enamel.

EXPLANATION OF FIGURE

- Fig. 1. The etch is seen to be evenly distributed over the entire enamel surface. A Type 1 etching pattern is seen in which prism centres have been removed preferentially. 10% H_3PO_4 ; 2min; x 1000.
- Fig. 2. The surface shows a convincing pattern of etched prisms exhibiting a Type 2 etching pattern. 30% H_3PO_4 ; 2min; x1000.
- Fig. 3. The variation in etching over an enamel surface was found to be marked, and the depth of tissue affected was significantly less extensive. 50% H_3PO_4 ; 2min; x1000.
- Fig. 4. Calcium Sulphate crystal growing on enamel surface after treatment with sulphate containing sulfuric acid. 10% H_2SO_4 ; 2min; x1000.
- Fig. 5. All of etched region showed surface large and small pitting were more evenly distributed over the test surface. 30% H_2SO_4 ; 2min; x1000.
- Fig. 6. It is obvious that the etching has effected mainly the prism cores thus leaving the prism sheaths as a system of polygonal or horse-shoe shaped prominent ridges. 50% H_2SO_4 ; 2min; x1000.
- Fig. 7. The pattern is characterized by a preferred dissolution of zone in each prism between the core and the sheath leaving this structures rising above the surface. 10% HNO_3 ; 2min; x1000.
- Fig. 8. Each prism between the core and the sheath was dissolution. 30% HNO_3 ; 2min; x1000.
- Fig. 9. The etching pattern is one in which there has been a preferential removal of prism peripheries termed a Type 2 etching pattern. 50% HNO_3 ; 2min; x1000.
- Fig. 10. An evenly distributed etching pattern in which that head and tail arrangement of prisms is demonstrated. (Type 1). 10% HCl; 2min; x1000.
- Fig. 11. There is gradual transition from a pattern in which prism peripheries appear more heavily affected. (Type 2.) 30% HCl; 2min; x1000.
- Fig. 12. The variation in etching over an enamel surface was found to be marked, and the depth of tissue affected was significantly less extensive. 50% HCl; 2min; x1000.
- Fig. 13. A Type 1 pattern is seen in which prism centres have been removed preferentially. Many regions of prism center appear even with evidence of pitting. 10% $(HCOOH)_2$; 2min; x1000.
- Fig. 14. A Type 2 is seen in which prism peripheries have been removed preferentially. The surface of the specimen shows a significant regularly the each pattern, but the acid has dissolved mainly the prism sheaths leaving the cores as irregular conical and prominent structures. 30% $(HCOOH)_2$; 2min; x1000.
- Fig. 15. A Type 1 pattern is seen in which prism peripheries have been remained. 50% $(HCOOH)_2$; 2min; x1000.
- Fig. 16. The pattern is characterized by a preferred dissolution of a zone in each prism between the core and the sheath leaving this structure rising above the surface. 10% $HCOOH$; 2min; x3000.

- Fig. 17.** A Type 1 pattern is seen in which prism cores have been removed preferentially. 30% HCOOH; 2min; x3000.
- Fig. 18.** A Type 1 etching pattern is seen in which prism centres have been removed preferentially. 50% HCOOH; 2min; x3000.
- Fig. 19.** The etched surface bore no resemblance to the enamel morphology. 10% citric acid; 2min; x1000.
- Fig. 20.** The etch is seen to be evenly distributed over the entire enamel surface. A Type 1 etching pattern is seen in which prism centres have been removed preferentially. 30% citric acid; 2min; x1000.
- Fig. 21.** A Type 1 pattern is seen in which prism peripheries have been remained. 50% citric acid; 2min; x1000.
- Fig. 22.** The variation in etching over an enamel surface was found to be marked, and the depth of tissue affected was significantly less extensive. Z.P.C liquid; 2min; x1000.
- Fig. 23.** Normal teeth surface. x 1000

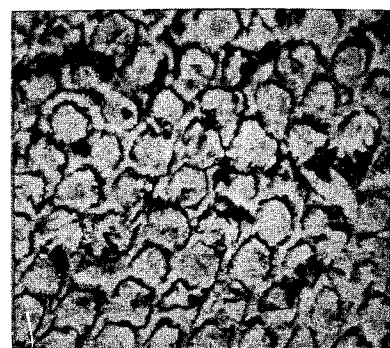
閔丙德 論文 寫真附圖 ①



1



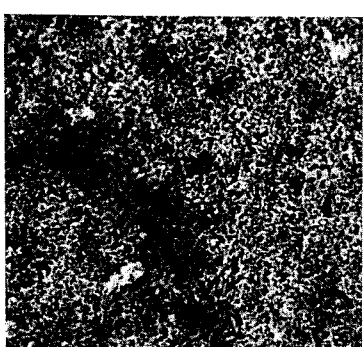
2



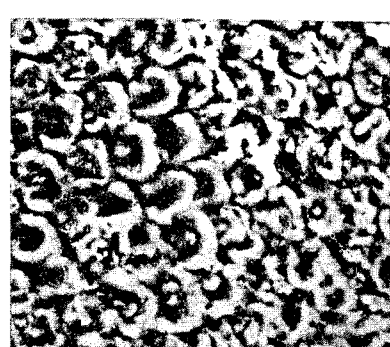
3



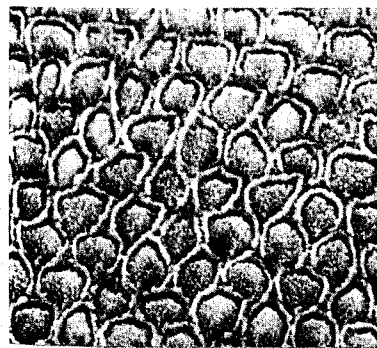
4



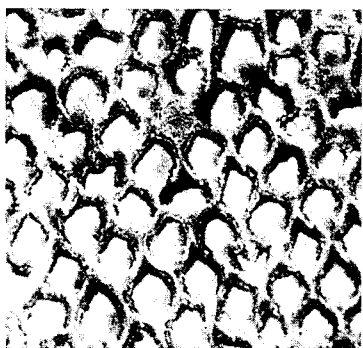
5



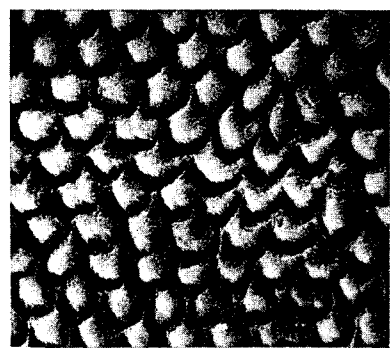
6



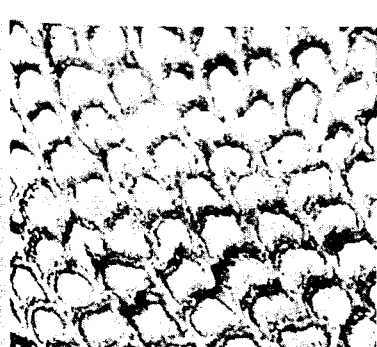
7



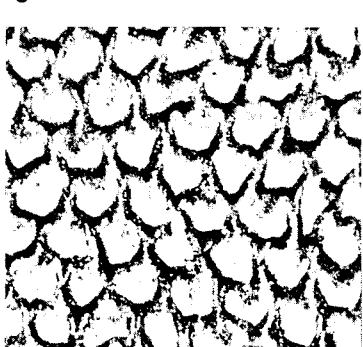
8



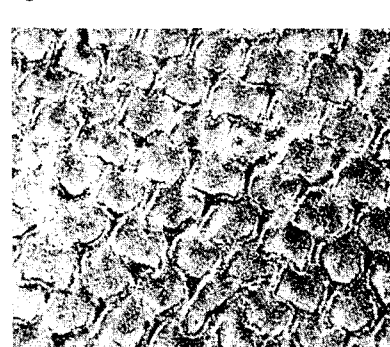
9



10

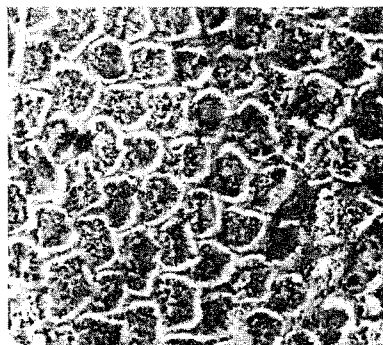


11

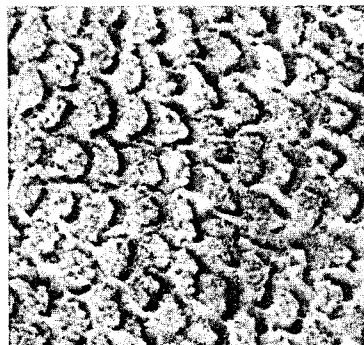


12

閔丙德 論文 寫真附圖 (2)



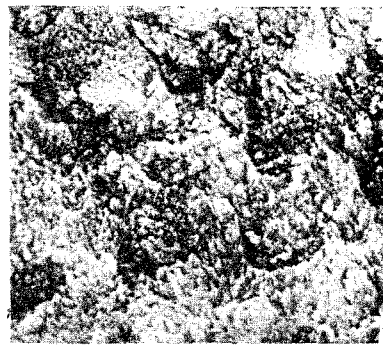
13



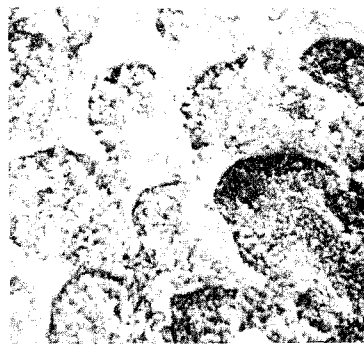
14



15



16



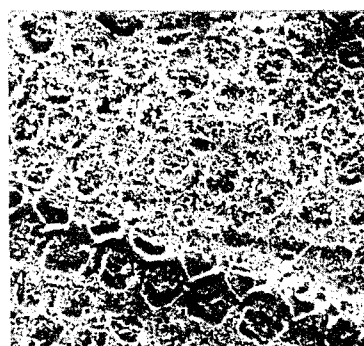
17



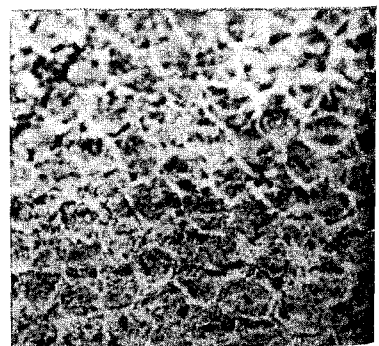
18



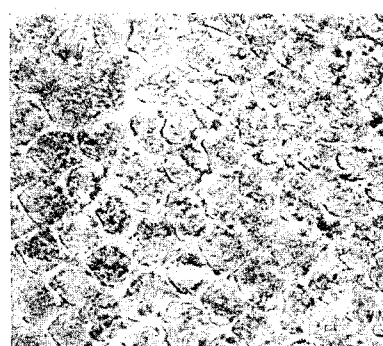
19



20



21



22



23